

Günter Häselinger

MO- π -Bindungsordnung-Bindungslängen-Beziehungen für
Hetero- π -Systeme, II¹⁾

π -Systeme mit CO-Bindungen

Aus dem Lehrstuhl für Organische Chemie der Universität Tübingen

(Eingegangen am 23. April 1970)



Für CO-Hetero- π -systeme werden die empirischen Bindungsparameter k_{C-O} und k_{C-O} zu 1.60 bzw. 1.00 aus Bindungs-Bindungs-Polarisierbarkeiten und einer linearen HMO- π -Bindungsordnung-Bindungslängen-Beziehung für Kohlenwasserstoffe bestimmt. Mit diesen Parametern berechnete HMO- π -Bindungsordnungen ergeben mit den entsprechenden Bindungsabständen, die mit einer Standardabweichung von höchstens 0.015 Å bestimmt wurden, eine lineare Bindungsordnung-Längenbeziehung. Nach der Methode der kleinsten Fehlerquadrate wird ihre Gleichung zu

$$R_{rs}^{\text{HMO}}[\text{\AA}] = 1.431 - 0.257 p_{rs}$$

mit einer Standardabweichung von 0.023 Å für 118 Punkte und einem Korrelationskoeffizienten von 0.930 bestimmt.

Für PPP-SCF- π -Bindungsordnungen beträgt die entsprechende Beziehung

$$R_{rs}^{\text{PPP}}[\text{\AA}] = 1.443 - 0.266 p_{rs}$$

mit einer Standardabweichung von 0.017 Å für 37 Werte und einem Korrelationskoeffizienten von 0.969. Beide Beziehungen erlauben die Berechnung von Bindungsabständen aus π -Bindungsordnungen mit einer Genauigkeit, die der experimentellen nahezu entspricht.

MO- π -Bond Order-Bond Lengths Relations for Hetero- π -Systems, III¹⁾

π -Systems with CO-Bonds

Empirical bond parameters k_{C-O} and k_{C-O} for CO-hetero- π -systems have been determined as 1.60 and 1.00, respectively, by means of bond-bond polarisabilities and a linear HMO- π -bond order-bond lengths relation derived for hydrocarbons. HMO- π -bond orders calculated with these parameters in combination with bond lengths determined experimentally with a standard deviation of less than 0.015 Å give a linear relation. The equation determined by the linear least squares method is

$$R_{rs}^{\text{HMO}}[\text{\AA}] = 1.431 - 0.257 p_{rs}$$

with a standard deviation of 0.023 Å for 118 points and a correlation coefficient of 0.930. For PPP-SCF- π -bond orders the corresponding equation is

$$R_{rs}^{\text{PPP}}[\text{\AA}] = 1.443 - 0.266 p_{rs}$$

¹⁾ I. Mitteil.: G. Häselinger, Chem. Ber. 103, 2902 (1970), vorstehend.

with a standard deviation of 0.017 Å for 37 points and a correlation coefficient of 0.969. Both relations allow the calculation of bond lengths from π -bond orders with an accuracy comparable to that of experimental values.

■

π -Bindungsordnung-Bindungslängen-Beziehungen für Hetero- π -systeme mit CO-Bindungen sind schon lange bekannt (siehe Überblick in Tab. 1). Dabei wurde jedoch in der Anwendung nicht unterschieden, ob die π -Bindungsordnungen mittels HMO- oder PPP-SCF-Berechnungen erhalten wurden. Naturgemäß unterscheiden sich die Bindungsordnungen, und es muß bei gleichbleibenden Bindungsabständen verschiedene Bindungsordnung-Bindungslängen-Beziehungen für beide Berechnungsmethoden geben. In den letzten Jahren sind außerdem eine Reihe von CO-Bindungsabständen mit großer Genauigkeit bestimmt worden, so daß für lineare Beziehungen nach der Methode der kleinsten Fehlerquadrate die beste Ausgleichsgerade bestimmt

$$R_{rs}[\text{Å}] = S - \frac{S - D}{1 + K \frac{1 - p_{rs}}{p_{rs}}} \quad (1)$$

und statistisch die Genauigkeit der Beziehung ermittelt werden kann. Die publizierten Bindungsordnung-Bindungslängen-Beziehungen der Tab. 1 beruhen entweder auf der Formel von Coulson²⁾ (1) und sind damit nicht linear, oder stellen Geraden der Gleichung (2) dar.

$$R_{rs}[\text{Å}] = S - B p_{rs} \quad (2)$$

Tab. 1. Bindungsordnung-Bindungslängen-Beziehungen für CO-Bindungen

$S [\text{Å}]$ Csp ² -O- Einfachbindungs- abstand für $p = 0$	$D [\text{Å}]$ Csp ² -O- Doppelbindungs- abstand für $p = 1.0$	Steigung B in Gl. (2) bzw. K in Gl. (1)	Kurventyp	Methode *)	Lit.
1.44	1.185	0.255	linear	HMO	3)
1.43	1.17	0.26	linear	HMO	4)
1.39	1.216	0.174	linear	HMO + PPP	5)
1.43	1.215	...	nichtlinear **)	HMO	6)
1.425	1.214	$K = 0.578$	nichtlinear **)	HMO	7)
1.410	1.230	0.180	linear	PPP	8)
1.396	1.227	0.169	linear	PPP	9)
1.365	1.185	0.180	linear	PPP	10)
1.395	1.230	0.165	linear	PPP	11)
1.430	1.216	0.214	linear	PPP	12)

*) HMO = Berechnung nach der einfachen Hückel-Methode ohne Berücksichtigung der Überlappung und eines induktiven Hilfsparameters^{13a)}.

PPP = Berechnung nach der empirischen SCF-Methode nach Pariser, Parr und Pople¹⁴⁻¹⁶⁾.

**) Coulson-Formel (1).

- 2) C. A. Coulson, Proc. Roy. Soc. [London], Ser. A **169**, 413 (1939).
- 3) E. G. Cox und G. A. Jeffrey, Proc. Roy. Soc. [London], Ser. A **207**, 110 (1951).
- 4) S. C. Abrahams, Quart. Rev. (chem. Soc. London) **10**, 407 (1956).
- 5) A. Julg und P. Carles, J. Chim. physique **59**, 852 (1962).
- 6) C. M. Moser, J. chem. Soc. [London] **1953**, 1073.
- 7) G. Häfleinger, Dissertation, Univ. Tübingen 1965.
- 8) K. Nishimoto und L. S. Forster, Theoret. chim. Acta [Berlin] **4**, 155 (1966).
- 9) M. J. S. Dewar und G. J. Gleicher, J. chem. Physics **44**, 759 (1966).
- 10) H. Jensen und P. N. Skancke, Acta chem. scand. **22**, 2899 (1968).
- 11) M. J. S. Dewar und T. Morita, J. Amer. chem. Soc. **91**, 796 (1969).
- 12) G. Höger, Acta chem. scand. **23**, 2589 (1969).

Bei Anwendung von Formel (1) wird die Kenntnis des „reinen“ $C_{sp^2}-O$ -Einfachbindungsabstandes S , des „reinen“ $C_{sp^2}=O$ -Doppelbindungsabstandes D und eines weiteren Punktes mit bekannter Bindungsordnung und Bindungslänge zur Ermittlung der Konstanten K benötigt. Die linearen Beziehungen können dagegen rein empirisch bestimmt werden.

Wie bei den CC^{17} - und CN^{11} -Bindungen ist die reine $C_{sp^2}-O$ -Einfachbindung mit einer π -Bindungsordnung von 0.0 eine theoretische Größe, die einer experimentellen Bestimmung nicht zugänglich ist, deren Wert aber durch Extrapolation aus einer Bindungsordnung-Längenbeziehung erhalten werden kann. Anders als bei den CN -Bindungen¹⁾ ist der $C_{sp^2}=O$ -Doppelbindungsabstand experimentell genau bekannt. Hier besteht jedoch eine Unsicherheit bezüglich der entsprechenden π -Bindungsordnung p_{rs} . Wie bei der $C=N$ -Bindung besitzt die $C=O$ -Bindung infolge der Polarität der Bindung eine Bindungsordnung, die kleiner als 1.00 ist. Ihr Wert hängt von der Wahl der empirischen Heteroatomparameter ($p_{C=O} = 0.943$ mit $k_O = 1.0$ und $k_{C=O} = \sqrt{2}$ ^{13b}) und der Berechnungsmethode ($p_{C=O}^{PPP} = 0.852$ ⁷) ab. Somit ist der $C=O$ -Bindungsabstand für $p = 1.00$ nicht mit dem der experimentellen $C=O$ -Doppelbindung zu identifizieren, sondern muß ebenfalls aus der Bindungsordnung-Längenbeziehung durch Extrapolation bestimmt werden.

Wahl der HMO-Heteroatomparameter

Heteroatome X werden in der einfachen Hückel-Theorie als Störung durch eine Änderung der Coulomb-Integrale (3) und Resonanzintegrale (4) berücksichtigt^{13a)}.

$$\alpha_X = \alpha_C + h_X \beta_{CC} \quad (3)$$

$$\beta_{CX} = k_{CX} \beta_{CC} \quad (4)$$

Die vorgeschlagenen empirischen Parameter erweisen sich als abhängig von der betrachteten Moleküleigenschaft (s. Tab. 2).

Tab. 2. HMO-Heteroatomparameter für CO-Bindungen

$h-\bar{\Omega}$	$h-\bar{\Omega}-$	$h-\bar{\Omega}-CH_3$	$k_{C=\bar{\Omega}}$	$k_{C-\bar{\Omega}-}$	Verbindungs-klasse	berechnete experimentelle Größe	Lit.
1.00	2.00	1.90	1.414 *)	0.80	allgemein		13b)
1.18	2.06	1.96	1.93	1.31	allgemein	UV	18)
1.20	2.00	1.65	2.00	0.90	allgemein		19)
1.00	1.40	1.30	1.00	0.80	Phenole, Aldehydc	NMR-chem. Verschiebungen	20)
2.00			1.414		Ketone, Amide,	UV	21)
					Carboxylat		22)
2.00	3.20		1.00	1.50	Phenole	Dipolmomente	24)
	0.50			0.20	Furan	UV	25)
0.84	1.81		1.23	1.36	allgemein	theoret. Ableitg.	26)
2.08	2.22		1.14	0.80	allgemein	theoret. Ableitg.	27,28)
1.20	2.00	1.40	1.20	0.80	allgemein	UV	29)

*) A. Streitwieser Jr., Privatmitteil.

13) A. Streitwieser Jr., Molecular Orbital Theory for Organic Chemists, J. Wiley & Sons, New York 1961: a) S. 117 ff, b) S. 135.

14) R. Pariser, J. chem. Physics **21**, 568 (1953).

15) J. Pople, Trans. Faraday Soc. **49**, 1375 (1953).

16) R. G. Parr, The Quantum Theory of Molecular Electronic Structure, W. A. Benjamin, New York 1966.

In Tab. 3 sind Bindungsabstände von sauerstoffhaltigen π -Elektronensystemen zusammengestellt, die mit einer Standardabweichung*) von höchstens 0.015 Å bestimmt wurden, und die entsprechenden HMO- π -Bindungsordnungen, berechnet**) mit den von Streitwieser^{13b)} vorgeschlagenen Heteroatomparametern ohne Berücksichtigung eines induktiven Hilfsparameters.

In Abbild. 1 sind diese Werte graphisch dargestellt. Nach der Methode der kleinsten Fehlerquadrate wurde die Gleichung (5) der Ausgleichsgeraden mit einer Standardabweichung von 0.028 Å für 78 Punkte und einem Korrelationskoeffizienten von 0.894 bestimmt***).

$$R_{rs} [\text{\AA}] = 1.405 - 0.217 p_{rs} \quad (5)$$

Der Korrelationskoeffizient entspricht dem bei den CC-Bindungen¹⁷⁾ erhaltenen und ist besser als der bei CN-Bindungen¹⁾ mit den Parametern von Streitwieser erhaltene Koeffizient von 0.792. Die Standardabweichung ist jedoch wesentlicher größer als bei den vorherigen Beziehungen^{1,17)}.

Nach dem in der vorherigen Mitteilung¹⁾ beschriebenen Verfahren wurden daher aus Bindungs-Bindungs-Polarisierbarkeiten³¹⁾ $\pi_{tu, rs}$ nach (6) und der HMO- π -Bindungsordnung-Bindungslängen-Beziehung (7) für CC-Bindungen¹⁷⁾ neue Resonanzintegralparameter (k_{CO}^{neu}) für CO-Bindungen bestimmt.

$$\Delta p_{rs} = \pi_{tu, rs} \Delta \beta_{tu} = \pi_{CO, rs} (k_{CO}^{\text{neu}} - k_{CO}^{\text{alt}}) \quad (6)$$

$$R_{rs}^{\text{CC}} [\text{\AA}] = 1.585 - 0.295 p_{rs} \quad (7)$$

*) Die Standardabweichung bei röntgenographischen Strukturbestimmungen ist so definiert, daß sich der wahre Wert mit 95% Sicherheit in dem Intervall $\pm 2\sigma$ um den Meßwert befindet³⁰⁾.

**) Die Berechnungen wurden am Computer CDC 3300 des Rechenzentrums der Universität Tübingen mit einem HMO-FORTRAN-Programm von I. Brauman und A. Streitwieser Jr. durchgeführt.

***) FORTRAN-Programm von G. Häfeling.

17) G. Häfeling, Tetrahedron [London] **26**, 2469 (1970).

18) G. Derflinger und H. Lischka, Mh. Chem. **100**, 1003 (1969).

19) B. Pullman und A. Pullman, Results of Quantum Mechanical Calculation of the Electronic Structure of Biochemicals, Vol. I, S. VI, Institute de Biologique-Physicochimique, Université Paris 1960.

20) S. Forsén, B. Åkermark und T. Alm, Acta chem. scand. **18**, 2313 (1964).

21) E. Heilbronner und R. W. Schmid, Helv. chim. Acta **37**, 2018 (1954).

22) E. L. Wagner, J. physic. Chem. **63**, 1403 (1959).

23) C. M. Moser, J. chem. Soc. [London] **1953**, 1073.

24) A. J. Owen, Tetrahedron [London] **25**, 3693 (1969).

25) F. L. Pilar und J. R. Morris, J. chem. Physics **34**, 389 (1961).

26) H. P. Figeys und P. Dedieu, Theoret. chim. Acta [Berlin] **9**, 82 (1967).

27) G. Rasch, Z. Chem. **2**, 347 (1962).

28) G. Rasch, Z. Chem. **2**, 382 (1962).

29) A. J. Wohl, Tetrahedron [London] **24**, 6889 (1968).

30) D. W. J. Cruickshank und A. P. Robertson, Acta crystallogr. [Copenhagen] **6**, 608 (1953).

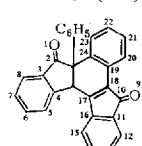
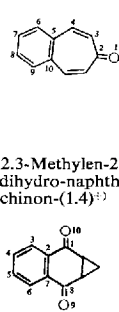
31) C. A. Coulson und H. C. Longuet-Higgins, Proc. Roy. Soc. [London], Ser. A **191**, 39 (1947); Ser. A **193**, 447 (1948).

Tab. 3. Bindungsabstände von sauerstoffhaltigen Hetero- π -Systemen und entsprechende mit verschiedenen Parametern berechnete HMO- und PPP-SCF- π -Bindungsordnungen

Nr.	Verbindung	Bindung r_s	Abstand R_{fs} [Å]	Standard- abweichung $\sigma \cdot 10^3$ [Å]	Methode*	π -Bindungsordnungen p_{rs}						
						Lit.	HMO**	HMO***	PPP	Lit.	PPP	Lit.
1	Formaldehyd	1-2	1.208	3	MW	a)	.9428	.9363	.878	ppp)	.852	qqq)
		1-2	1.212	5	MW	b)	.9428	.9363	.789	ppp)	.962	ttt)
2	Acetaldehyd $^{+2}$	1-2	1.216	2	MW	c)	.9428	.9363	.834	ppp)	.938	rrr)
		1-2	1.222	3	MW	d)	.9428	.9363	.789	ppp)	.938	rrr)
3	Aceton $^{+3}$	1-2	1.210	3	ED	e)	.9428	.9363	.789	ppp)	.962	ttt)
		1-2	1.210	3	ED	f)	.8489	.8513	.812	ppp)		
4	Acrolein	1-2	1.219	5	MW	f)	.8489	.8513	.812	ppp)		
		2-3	1.470	3			.4136	.3941	.272			
5	Glyoxal	1-2	1.345	3			.9059	.9141	.956			
		1-2	1.345	3			.9059	.9141	.956			
6	3-Chlor-1-methyl-2-phenyl-cyclobuten-(1-on-(4) $^{+4}$)	1-2	1.206	7	X	h)		.8360				
		2-3	1.463	8				.4224				
7	Phenylcyclobutendion	1-2	1.360	7				.8199				
		1-2	1.360	7				.4317				
8	<i>p</i> -Benzochinon	1-2	1.448	7				.6010				
		1-2	1.411	8				.6813				
9	2,5-Dimethyl- <i>p</i> -benzochinon $^{+5}$	1-2	1.373	10				.6564				
		1-2	1.354	10				.6564				
10	2,3-Dimethyl- <i>p</i> -benzochinon $^{+5}$	1-2	1.386	13				.6813				
		1-2	1.393	9				.6010				
11	2,6-Dimethyl- <i>p</i> -benzochinon $^{+5}$	1-2	1.395	8				.6569				
		1-2	1.395	8				.6572				
12	2,3,5,6-Tetra-methyl- <i>p</i> -benzo-chinon $^{+5}$	1-2	1.222	8	X	i)	.8006	.8113	.761	ppp)	.841	qqq)
		2-3	1.477	6			.3662	.3435	.250		.136	
13	2,3,5,6-Tetra-methyl- <i>p</i> -benzo-chinon $^{+5}$	1-2	1.473	8			.8671	.8804	.933		.983	
		2-3	1.473	8			.3662	.3435	.250			
14	2,3,5,6-Tetra-methyl- <i>p</i> -benzo-chinon $^{+5}$	1-2	1.313	6	X	j)	.8006	.8113	.761	ppp)	.841	qqq)
		1-2	1.313	6			.3662	.3435	.250		.136	
15	2,3,5,6-Tetra-methyl- <i>p</i> -benzo-chinon $^{+5}$	1-2	1.224	6	X	m)	.8006	.8113	.761	ppp)	.841	qqq)
		1-2	1.224	6			.3662	.3435	.250		.136	
16	2,3,5,6-Tetra-methyl- <i>p</i> -benzo-chinon $^{+5}$	1-2	1.483	3.3			.8671	.8804	.933		.983	
		1-2	1.483	3.3			.3662	.3435	.250		.136	
17	2,3,5,6-Tetra-methyl- <i>p</i> -benzo-chinon $^{+5}$	1-2	1.336	3.3			.8671	.8804	.933		.983	
		1-2	1.336	3.3			.3662	.3435	.250		.136	
18	2,3,5,6-Tetra-methyl- <i>p</i> -benzo-chinon $^{+5}$	1-2	1.459	1.8			.8671	.8804	.933		.983	
		1-2	1.459	1.8			.3662	.3435	.250		.136	

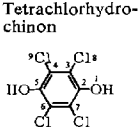
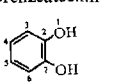
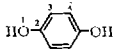
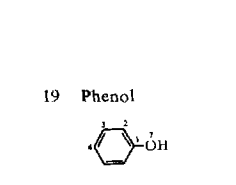
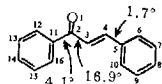
Tab. 3 (Forts.)

Nr.	Verbindung	Bindung rs	Abstand R_{rs} [Å]	Standard- abweichung $\sigma \cdot 10^3$ [Å] Methode *)	Lit.	π -Bindungsordnungen p_{rs}					
						HMO **)	HMO ***)	PPP	Lit.	PPP	Lit.
13	4,5-Benzo-tropon	1-2	1.244	X	o)	.7074	.7217				
		2-3	1.461			.4442	.4287				
		3-4	1.378			.7880	.7944				
		4-5	1.488			.4842	.4817				
		5-6	1.449			.5887	.5896				
		6-7	1.409			.6958	.6953				
		7-8	1.384			.6267	.6275				
		5-10	1.389			.5293	.5312				
14	2,3-Methylen-2,3-dihydro-naphtho-chinon-(1,4) ^{†)}	1-2	1.484	8	X	p)	.3718	.3532			
		2-3	1.402	8			.6297	.6335			
		3-4	1.378	8			.6664	.6658			
		4-5	1.399	10			.6567	.6583			
		1-10	1.210	7			.8663	.8674			
		2-7	1.400	10			.5732	.5809			
15	Anthrachinon	1-2	1.388	11	X	q)	.6596	.6612			
		2-3	1.386				.6639	.6629			
		3-4	1.382				.6332	.6368			
		4-5	1.484				.3512	.3352			
		5-6	1.213				.8039	.8102			
		4-7	1.401				.5837	.5894			
16	2-Methyl-benz[a]-anthracen-chinon-(7,12) ^{†)}	1-2	1.457	10	X	r)	.3504	.3343			
		2-3	1.416	10			.6336	.6373			
		3-4	1.376	12			.6630	.6620			
		4-5	1.379	11			.6604	.6619			
		5-6	1.377	11			.6629	.6620			
		6-7	1.384	10			.6339	.6375			
		7-8	1.511	10			.3495	.3337			
		2-7	1.402	9			.5843	.5899			
		8-9	1.484	9			.3645	.3469			
		9-10	1.412	9			.6310	.6379			
		1-10	1.516	10			.3488	.3322			
		10-11	1.393	10			.5788	.5818			
		11-12	1.366	12			.7195	.7187			
		12-13	1.408	10			.5501	.5513			
		13-14	1.441	11			.5565	.5560			
		14-15	1.372	11			.7224	.7229			
		15-16	1.387	12			.6036	.6032			
		16-17	1.368	11			.7206	.7213			
		17-18	1.439	10			.5627	.5615			
		9-18	1.424	10			.5251	.5283			
		13-18	1.413	10			.5156	.5152			
		8-19	1.222	7			.7974	.8049			
		1-20	1.213	8			.8057	.8121			
17	5a-Phenyl-5a,14c-dihydro-benz[a]inden[2,1-c]-fluoren-5(10)-one ^{†)}	1-2	1.218	5	X	s)	.8649	.866	ttt)	.800	ppp)
		2-3	1.459				.3576	.270		.284	
		3-4	1.380				.6210	.621		.639	
		4-5	1.374				.6761	.644		.667	
		5-6	1.385				.6604	.650		.667	
		6-7	1.402				.6604	.678		.661	
		7-8	1.371				.6761	.655		.672	
		8-9	1.376				.6210	.650		.634	
		9-10	1.203				.8366				
		10-11	1.486				.2970				
		11-12	1.371				.6645				
		12-13	1.376				.6369				
		13-14	1.374				.6721				
		14-15	1.393				.6503				
		15-16	1.366				.6275				
		16-17	1.485				.4070				
		17-18	1.346				.7793				
		10-18	1.508				.3148				



Tab. 3 (Forts.)

Nr.	Verbindung	Bindung rs	Abstand R _{rs} [Å]	Standard- abweichung $\sigma \cdot 10^3$ [Å] Methode *	π -Bindungsordnungen p_{rs}						
					Lit.	HMO **)	HMO ***)	PPP	Lit.	PPP	Lit.
17	Fortsetzung	11 - 16 18 - 19 19 - 20 20 - 21 21 - 22 22 - 23 23 - 24 24 - 19	1.402 1.448 1.406 1.372 1.367 1.373 1.404 1.397		.5678 .4095 .6045 .6807 .6566 .6566 .6807 .6045						
18	Chalcon ⁺⁺⁾	1 - 2 2 - 3 3 - 4 4 - 5 5 - 6 6 - 7 7 - 8 8 - 9 9 - 10 5 - 10 2 - 11 11 - 12 12 - 13 13 - 14 14 - 15 15 - 16 11 - 16	1.204 1.478 1.319 1.464 1.404 1.386 1.368 1.383 1.384 1.387 1.499 1.394 1.384 1.383 1.368 1.395 1.385	6 X t)	.7785 .4016 .8242 .4308 .6012 .6813 .6564 .6564 .6813 .6012 .3370 .6244 .6755 .6607 .6607 .6755 .6244						
19	Phenol	1 - 2 2 - 3 3 - 4 1 - 7	1.3956 1.3956 1.3956 1.379	0.2 MW u)	.6450 .6708 .6641 .2484	.6337 .6731 .6626 .3033	.623 .673 .651 .356	.645 .670 .665 .251	uuu)	vvv)	
20	Desoxyanisoin	1 - 2 2 - 3 3 - 4 1 - 7 8 - 9 9 - 10 10 - 11 11 - 12 12 - 13 13 - 16	1.386 1.393 1.390 1.374 1.220 1.500 1.397 1.392 1.397 1.365	10 X v)	.6450 .6708 .6641 .2484 .8572 .3864 .6097 .6872 .6332 .2645	.6337 .6731 .6626 .3033 .8559 .3744 .6105 .6909 .6206 .3213	.623 .673 .651 .356	.645 .670 .665 .251	uuu)	vvv)	
21	Hydrochinon	1 - 2 2 - 3 3 - 4	1.393 1.375 1.401	10 X w)	.2392 .6454 .6714	.2879 .6359 .6718	.244 .645 .671		xxx)		
22	Brenzcatechin	1 - 2 2 - 3 3 - 4 4 - 5 2 - 7	1.372 1.377 1.395 1.378 1.389	10 X x)	.2379 .6535 .6643 .6648 .6257	.2863 .6491 .6606 .6657 .6051	.239 .651 .664 .665 .627				
23	Tetrachlorhydro-chinon	1 - 2 2 - 3 3 - 4 4 - 5 3 - 8 4 - 9	1.337 1.400 1.388 1.384 1.704 1.720	9 X y)		.2821 .6340 .6621 .6340 .1119 .1119					
24	Naphthohydro-chinon	1 - 2 2 - 3 3 - 4 2 - 7 7 - 8 8 - 9 9 - 10 6 - 7	1.377 1.353 1.419 1.428 1.399 1.360 1.385 1.403	10 X z)		.2950 .6892 .6094 .5280 .5607 .7219 .6042 .5204					

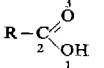
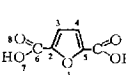


Tab. 3 (*Forts.*)

Nr.	Verbindung	Bindung rs	Abstand r_{rs} [Å]	Standard- abweichung $\sigma \cdot 10^3$ [Å]	Methode *)	π -Bindungsordnungen p_{rs}			
						Lit.	HMO **)	HMO ***)	PPP Lit.
25	Chloranilsäure	1 - 2 2 - 3 3 - 4 4 - 5 3 - 8 4 - 9	1.225 1.506 1.346 1.446 1.320 1.719	4 7 6 6 5 5	X aa)	.7957 .3016 .8072 .4012 .3559 .1097			
26	Ammonium-chlor-anilat-monohydrat	1 - 2 2 - 3 3 - 4 4 - 5 3 - 8 4 - 9	1.243 1.535 1.401 1.407 1.253 1.741	6 8 6 9 8 6	X bb)	.5899 .3093 .6240 .6240 .5898 .0975			
27	Tetrahydroxy- <i>p</i> -benzochinon	1 - 2 2 - 3 3 - 4 4 - 5	1.229 1.478 1.342 1.345	5 5 5 5	X cc)	.7872 .3682 .8063 .2543	.7908 .3500 .7946 .2950		
28	Naphthazarin ^{++*)}	1 - 2 2 - 3 3 - 4 4 - 5 5 - 6 1 - 6 1 - 13 4 - 12	1.470 1.380 1.390 1.470 1.455 1.375 1.325 1.310	10 10 10 10 10 10 9 9	X dd)	.5207 .7839 .4219 .4056 .5177 .6314 .3111 .7351	.4842 .7767 .4842 .5205 .5292 .5204 .5462		
29	1,5-Dihydroxy-anthrachinon	1 - 2 2 - 3 3 - 4 4 - 5 4 - 6 6 - 7 7 - 8 8 - 9 9 - 10	1.214 1.459 1.395 1.343 1.399 1.397 1.365 1.379 1.495	5 6 6 6 7 7 7 6 6	X ee)	.7950 .3676 .6081 .2697 .6345 .6701 .6563 .6364 .3511	.7983 .3592 .5989 .3275 .6192 .6765 .6519 .6412 .3352		
30	4-Methoxy-chalcon ^{++*)}	1 - 2 2 - 3 3 - 4 4 - 5 5 - 6 6 - 7 7 - 8 8 - 9 9 - 10 5 - 10 2 - 11 11 - 12 12 - 13 13 - 14 14 - 15 15 - 16 11 - 16 8 - 17	1.228 1.490 1.330 1.465 1.403 1.372 1.389 1.394 1.388 1.393 1.468 1.396 1.379 1.350 1.394 1.372 1.393 1.350	5 6 7 6 6 7 6 6 6 6 6 6 6 9 7 7 7 5	X ff)	.7731 .4118 .8136 .4447 .5917 .6950 .6172 .6172 .6950 .5917 .3364 .6246 .6755 .6608 .6608 .6755 .6246 .3199			
31	2-Hydroxy-1,3,4,7-tetramethoxy-xanthon	1 - 2 2 - 3 3 - 4 4 - 5 5 - 6 1 - 6 6 - 7 7 - 8 8 - 9 5 - 10 11 - 16 8 - 17	1.389 1.401 1.386 1.404 1.399 1.417 1.470 1.470 1.390 1.369 1.363	2 3 3 2 2 2 2 2 3 2 7 2	X gg)	.6401 .6081 .6234 .6216 .5727 .5739 .4944 .3719 .5871 .3182 .3339			

Tab. 3 (Forts.)

Nr.	Verbindung	Bindung rs	Abstand R_{rs} [Å]	Standard- abweichung $\sigma \cdot 10^3$ [Å] Methode *)	Lit.	π -Bindungsordnungen ρ_{rs}						
						HMO **)	HMO ***)	PPP	Lit.	PPP	Lit.	
31	Fortsetzung											
		9—11	1.395	3					.6218			
		11—12	1.369	3					.6841			
		12—13	1.403	3					.6173			
		13—14	1.380	3					.6568			
		8—14	1.399	2					.6140			
		7—15	1.226	2					.7560			
		1—16	1.372	2					.2839			
		2—17	1.360	2					.2547			
		3—18	1.367	2					.2824			
		4—19	1.368	2					.2542			
		13—20	1.370	3					.2896			
32	Furan	1—2	1.362	1	MW hb)	.3847	.4395	.148	sss)	.349	www)	.408
		2—3	1.361	1		.8111	.7820	.910		.843		.829
		3—4	1.431	2		.5367	.5642	.421		.382		.497
33	Furan-dicarbon- säure-(3,4)+++)	1—2	1.361	3	X ii)	.4055	.4634					
		2—3	1.351	3		.7590	.7207					
		3—4	1.462	5		.4544	.4598					
		3—6	1.478	3		.3789	.4210					
		6—7	1.267	3		.3110	.5781					
		6—8	1.254	3		.8033	.5781					
34	Furan-dicarbon- säure-(2,5)	1—2	1.368	8	X jj)	.3664	.4240					
		2—3	1.354			.7281	.7114					
		3—4	1.442			.5846	.6095					
		2—6	1.475			.3866	.3528					
		6—8	1.205			.8010	.7891					
		6—7	1.315			.3866	.3627					
35	Ameisensäure	1—2	1.361	3	ED kk)	.3394	.3930					
		2—3	1.217	2,6		.8803	.8540					
36	Methylformiat	1—2	1.334	10	MW ll)	.3394	.3930					
		2—3	1.200	10		.8803	.8540					
37	Ammoniumformiat		1.242	7	X mm)	.6667	.6509					
38	Ammoniumacetat $^{+/-}$		1.267	4	X nn)	.6667	.6509					
39	Ammoniumtrifluor- acetat $^{+/-}$		1.269	5	X oo)	.6667	.6509					
40	Lithiumglykolat $^{+/-}$		1.255	2	X pp)	.6667	.6509					
41	Ammoniumhydrogen- D-tartrat $^{+/-}$		1.262	4	X qq)	.6667	.6509					
		1—2	1.311	4		.3394	.2568					
		2—3	1.220	4		.8803	.8940					
42	Diglycinhydro- chlorid $^{+/-}$		1.266		X rr)	.6667	.6509					
		1—2	1.310			.3394	.2568					
		2—3	1.223			.8803	.8940					



Tab. 3 (Forts.)

Nr.	Verbindung	Bindung rs	Abstand R_{rs} [Å]	Standard- abweichung $\sigma \cdot 10^3$ [Å] Methode *)	π -Bindungsordnungen p_{rs}								
					Lit.	HMO**)	HMO***)	PPP	Lit.	PPP	Lit.	PPP	Lit.
43	Oxalsäure	1-2 2-3 2-4	1.285 1.212 1.538	1 1 2	X	ss)	.3233 .8564 .2607	.3801 .8380 .2222					
44	Natriumoxalat- perhydrat	1-2 2-4	1.265 1.570	7 11	X	tt)			.6415 .2566				
45	Lithiumoxalat	1-2 2-4	1.258 1.561		X	tt)			.6415 .2566				
46	Kaliumoxalat- monohydrat	1-2 2-4	1.253 1.574	6 2	X	uu)			.6415 .2566				
47	Kaliumoxalat- monohydrat	1-2 2-4	1.2523 1.5698	3.6 N 1.7	N	vv)			.6415 .2566				
48	β -Fumarsäure	1-2 2-3 2-4 4-5	1.290 1.228 1.490 1.315	5 4 6 7	X	ww)	.3106 .8125 .3739 .8572	.3649 .7977 .3446 .8771					
49	Fumarsäure	1-2 2-3 2-4 4-5	1.293 1.224 1.465 1.348		X	xx)	.3106 .8125 .3739 .8572	.3649 .7977 .3446 .8771					
50	Dimethyl-trans- trans-muconat [†])	1-2 2-3 2-4 4-5 5-6	1.347 1.218 1.480 1.341 1.454	2	X	yy)			.3600 .7844 .3744 .8166 .4792				
51	Kaliumhydrogen- maleat ^{††})	1-2 2-3 2-4 4-5	1.284 1.235 1.498 1.348	3 3 3 4	X	zz)	.6310 .8130 .3733 .8493	.4725 .7561 .3398 .8819					
52	Maleinsäure- anhydrid	1-2 2-3 2-4 4-5	1.388 1.189 1.470 1.303	5	X	aaa)	.2884 .8229 .3696 .8632	.3327 .8138 .3363 .8850					
53	Isoeremo- lacton ^{††})	1-2 2-3 3-4 4-5 5-6 2-6 4-7	1.197 1.379 1.400 1.454 1.339 1.466 1.324	4	X	bbb)			.7610 .3600 .2990 .4571 .8208 .4065 .8309				
54	L-Ascorbinsäure ^{††})	1-2 2-3 2-4 4-5 4-6 6-7	1.355 1.216 1.452 1.361 1.338 1.321	5	X	ccc)			.3543 .7659 .4006 .2398 .8308 .3457				

Tab. 3 (*Forts.*)

Tab. 3 (Forts.)

Nr.	Verbindung	Bindung rs	Abstand R_{rs} [Å]	Standard- abweichung $\sigma \cdot 10^3$ [Å]	Methode *	π -Bindungsordnungen p_{rs}						
						Lit.	HMO **)	HMO ***)	PPP	Lit.	PPP	Lit.
61	Fortsetzung	10–11	1.317						.5457			
		10–12	1.485						.3924			
		12–13	1.393						.6103			
		13–14	1.396						.6791			
		14–15	1.395						.6580			
		15–16	1.388						.6580			
		16–17	1.379						.6103			
		17–12	1.389						.6791			
62	Bis-[<i>m</i> -chlorbenzoyl]-methan ^{†††})	1–2	1.394	11	X	kkk)			.6099			
		2–3	1.395	10					.6785			
		3–4	1.414	11					.6590			
		4–5	1.391	12					.6531			
		5–6	1.397	11					.6738			
		1–6	1.381	10					.6111			
		1–7	1.492	10					.3922			
		7–8	1.299	10					.5457			
		7–9	1.402	11					.6182			
		9–10	1.397	9					.6182			
		10–11	1.318	9					.5457			
		10–12	1.482	10					.3922			
		12–13	1.362	10					.6111			
		13–14	1.401	10					.6738			
		14–15	1.351	14					.6531			
		15–16	1.407	11					.6590			
		16–17	1.398	10					.6785			
		17–12	1.373	11					.6099			
		5–19	1.731	8					.1224			
		14–18	1.727	8					.1224			
63	Bis-[<i>m</i> -brombenzoyl]-methan ^{†††})	1–2	1.410	7	X	III)			.6099			
		2–3	1.389	10					.6786			
		3–4	1.397	10					.6588			
		4–5	1.375	9					.6542			
		5–6	1.392	9					.6750			
		1–6	1.400	9					.6109			
		1–7	1.457	9					.3922			
		7–8	1.306	8					.5457			
		7–9	1.393	8					.6182			
		5–19	1.901	7					.1083			
64	Calciumcarbonat ^{†††})	1–2	1.294	4	X	mmm)			.5455			
65	Diammoniumcroconat ^{†††})	1–2	1.265	11	X	nnn)	.650		.6329	.686		xxx)
		2–3	1.457	13			.416		.4235	.400		
66	Natrium-tropolonat ^{†††})	1–2	1.278	5	X	ooo)			.5264			
		2–3	1.426	6					.5954			
		2–8	1.487	6					.4494			
		3–4	1.390	6					.6637			
		4–5	1.388	7					.6438			

* Strukturbestimmungsmethoden: MW = Mikrowellenspektroskopie, ED = Elektronenbeugung, X = dreidimensionale Röntgenstrukturbestimmung, N = Neutronenbeugung.

**) Streitwieser-Heteroatomparameter^{13b)}: $h_{\text{O}} = 1.00$, $h_{\text{Cl}} = 2.00$, $k_{\text{Cl}} = 2.00$, $k_{\text{C=O}} = 1.414$, $k_{\text{C-O}} = 0.8$, $k_{\text{C-Cl}} = 0.5$.

***) Neue Sauerstoffparameter (10).

†) Alkylsubstituenten bei der Berechnung nicht berücksichtigt.

††) Als planar angenommen.

†††) Alle Sauerstoffatome als gleich angesetzt mit $h_{\text{O}} = 1.20$ und $k_{\text{CO}} = 1.10$.

- a) K. Tagaki und T. Oka, J. physic. Soc. Japan **18**, 1174 (1963).
 b) M. G. Krishna Pillai, J. Annamalai Univ. B **25**, 126 (1964), C. A. **62**, 11 312h (1965).
 c) R. W. Kilb, C. C. Liu und E. B. Wilson, J. chem. Physics **26**, 1695 (1957).
 d) R. Nelson und L. Pierce, J. molecular Spectroscopy **18**, 344 (1965).
 e) R. L. Hilderbrandt, A. L. Andreassen und S. H. Bauer, Acta crystallogr. [Copenhagen] **A 25**, S 152 (1969).
 f) E. A. Cherniak und C. C. Costain, J. chem. Physics **45**, 104 (1966).
 g) Y. Morlino, K. Kuchitsu, T. Fukuyama und M. Tanimoto, Acta crystallogr. [Copenhagen] **A 25**, S 127 (1969).
 h) S. M. Kruger, J. A. Kapecki, J. E. Baldwin und I. C. Paul, J. chem. Soc. [London] **B 1969**, 796.
 i) C. H. Wang, R. E. Marsh und V. Schomaker, Acta crystallogr. [Copenhagen] **17**, 131 (1964).
 j) J. Trotter, Acta crystallogr. [Copenhagen] **13**, 86 (1960).
 k) F. L. Hirshfeld und D. Rabinovich, Acta crystallogr. [Copenhagen] **23**, 989 (1967).
 l) D. Rabinovich, J. chem. Soc. [London] **B 1967**, 140.
 m) D. Rabinovich und G. M. J. Schmidt, J. chem. Soc. [London] **B 1967**, 127.
 n) D. Rabinovich, G. M. J. Schmidt und E. Ubell, J. chem. Soc. [London] **B 1967**, 131.
 o) T. Hata, H. Shimanouchi und Y. Sasada, Tetrahedron Letters [London] **1969**, 753.
 p) W. K. Grant und J. C. Speakman, Acta crystallogr. [Copenhagen] **15**, 292 (1962).
 q) A. Prakash, Acta crystallogr. [Copenhagen] **22**, 439 (1967).
 r) R. P. Ferrier und J. Ihall, Acta crystallogr. [Copenhagen] **16**, 513 (1966).
 s) A. L. Bednowitz, W. C. Hamilton, R. Brown, L. G. Donaruma, P. L. Southwick, R. Kropf und R. A. Stanfield, J. Amer. chem. Soc. **90**, 291 (1968).
 t) D. Rabinovich, J. chem. Soc. [London] **B 1970**, 11.
 u) H. Forest und B. P. Dailey, J. chem. Physics **45**, 1736 (1966).
 v) H. G. Norment und J. L. Karle, Acta crystallogr. [Copenhagen] **15**, 873 (1962).
 w) K. Maatmann-Moe, Acta crystallogr. [Copenhagen] **21**, 979 (1966).
 x) C. J. Brown, Acta crystallogr. [Copenhagen] **21**, 170 (1966).
 y) S. K. Sikka und R. Chidambaram, Acta crystallogr. [Copenhagen] **23**, 107 (1967).
 z) J. Gaultier und C. Hauw, Acta crystallogr. [Copenhagen] **23**, 1016 (1967).
- aa) E. K. Andersen, Acta crystallogr. [Copenhagen] **22**, 188, 191 (1967).
 bb) E. K. Andersen, Acta crystallogr. [Copenhagen] **22**, 196 (1967).
 cc) H. P. Klug, Acta crystallogr. [Copenhagen] **19**, 983 (1965).
 dd) C. Pascard-Billy, Acta crystallogr. [Copenhagen] **15**, 519 (1962).
 ee) D. Hall und C. L. Nobbs, Acta crystallogr. [Copenhagen] **21**, 927 (1966).
 ff) D. Rabinovich und G. M. J. Schmidt, J. chem. Soc. [London] **B 1970**, 6.
 gg) G. H. Stout, T. Shun Liu und J. Singh, Tetrahedron [London] **25**, 1975 (1969).
 hh) B. Bak, D. Christensen, W. Dixon, L. Hansen-Nygaard, J. Andersen und M. Schottländer, J. molecular Spectroscopy **9**, 124 (1962).
 ii) D. E. Williams und R. E. Rundle, J. Amer. chem. Soc. **86**, 1660 (1964).
 jj) E. Martuscelli und C. Pedone, Acta crystallogr. [Copenhagen] **B 24**, 175 (1968).
 kk) A. Almenningen, O. Bastiansen und T. Motzfeldt, Acta chem. scand. **23**, 2848 (1969).
 ll) R. F. Curl Jr., J. chem. Physics **30**, 1529 (1959).
 mm) I. Nahringerbauer, Acta crystallogr. [Copenhagen] **B 24**, 565 (1968).
 nn) I. Nahringerbauer, Acta chem. scand. **23**, 956 (1969).
 oo) D. W. Cruickshank, D. W. Jones und G. Walker, J. chem. Soc. [London] **1964**, 1303.
 pp) E. J. Gabe und M. R. Taylor, Acta crystallogr. [Copenhagen] **21**, 418 (1966).
 qq) A. J. von Bonnial und J. M. Bijvoet, Acta crystallogr. [Copenhagen] **11**, 61 (1958).
 rr) T. Hahn, Z. Kristallogr. **113**, 403 (1960).
 ss) R. G. Delaplane und J. A. Ibers, Acta crystallogr. [Copenhagen] **B 25**, 2423 (1969).
 tt) B. F. Pedersen und B. Pedersen, Acta chem. scand. **18**, 1454 (1964).
 uu) D. J. Hodgson und J. A. Ibers, Acta crystallogr. [Copenhagen] **B 25**, 469 (1969).
 vv) A. Sequeira, S. Srikantha und R. Chidambaram, Acta crystallogr. [Copenhagen] **B 26**, 77 (1970).
 ww) A. L. Bednowitz und B. Post, Acta crystallogr. [Copenhagen] **21**, 566 (1966).
 xx) C. J. Brown, Acta crystallogr. [Copenhagen] **21**, 1 (1966).
 yy) S. E. Filippakis, L. Leiserowitz und G. M. J. Schmidt, J. chem. Soc. [London] **B 1967**, 290.
 zz) S. F. Darlow und W. Cochran, Acta crystallogr. [Copenhagen] **14**, 1250 (1961).
- aaa) R. E. Marsh, E. Ubell und H. E. Wilcox, Acta crystallogr. [Copenhagen] **15**, 35 (1962).
 bbb) Y. L. Ott und E. N. Maslen, Acta crystallogr. [Copenhagen] **B 24**, 883 (1968).
 ccc) J. Hvoslef, Acta crystallogr. [Copenhagen] **B 24**, 23 (1968).
 ddd) R. Destro, G. Philipini, C. M. Gramaccioni und M. Simonetta, Acta crystallogr. [Copenhagen] **B 25**, 2465 (1969).
 eee) R. F. Bryan, J. chem. Soc. [London] **B 1967**, 1311.
 fff) H. H. Mills und C. M. Speakman, J. chem. Soc. [London] **1963**, 4355.
 ggg) G. Ferguson und G. A. Sim, Acta crystallogr. [Copenhagen] **14**, 1262 (1961).
 hh) M. Sundaralingam und L. H. Jensen, Acta crystallogr. [Copenhagen] **18**, 1053 (1965).
 iii) J. P. Schaefer und P. J. Wheatley, J. chem. Soc. [London] **A 1966**, 528.
 jjj) D. E. Williams, Acta crystallogr. [Copenhagen] **21**, 340 (1966).
 kk) G. R. Engebreton und R. E. Rundle, J. Amer. chem. Soc. **86**, 574 (1964).
 ll) D. E. Williams, W. L. Dunke und R. E. Rundle, Acta crystallogr. [Copenhagen] **15**, 627 (1962).
 mm) R. L. Sass, R. Vidale und J. Donohue, Acta crystallogr. [Copenhagen] **10**, 567 (1957).
 nn) N. C. Baenninger und J. J. Hegenbarth, J. Amer. chem. Soc. **86**, 3250 (1964).
 ooo) R. Shitomo, Acta crystallogr. [Copenhagen] **14**, 42 (1961).
 ppp) H. Jensen und P. N. Skancke, Acta chem. scand. **22**, 2899 (1968).
 qqq) M. J. S. Dewar und G. J. Gleicher, J. chem. Physics **44**, 759 (1966).
 rrr) S. Bratos und S. Besainon, J. chem. Physics **34**, 1142 (1961).
 sss) J. W. Sidman, J. chem. Physics **27**, 429 (1957).
 tt) M. J. S. Dewar und T. Morita, J. Amer. chem. Soc. **91**, 802 (1969).
 uuu) K. Nishimoto und L. S. Forster, Theoret. chim. Acta [Berlin] **4**, 155 (1966).
 vvv) G. Höjer, Acta chem. scand. **23**, 2589 (1969).
 www) D. S. Sappenfield und M. Kreevoy, Tetrahedron [London] **19**, 157 (1963).
 xxx) H. Cignitti, Theoret. chim. Acta [Berlin] **5**, 169 (1966).

In Tab. 4 sind die zur Bestimmung des Bindungsparameters $k_{C=O}$ benötigten Größen zusammengestellt.

Die Werte für die einzelnen Bindungen streuen teilweise beträchtlich und sind mit einem unterschiedlichen Fehler behaftet. Die Mittelung dieser Werte für die einzelnen

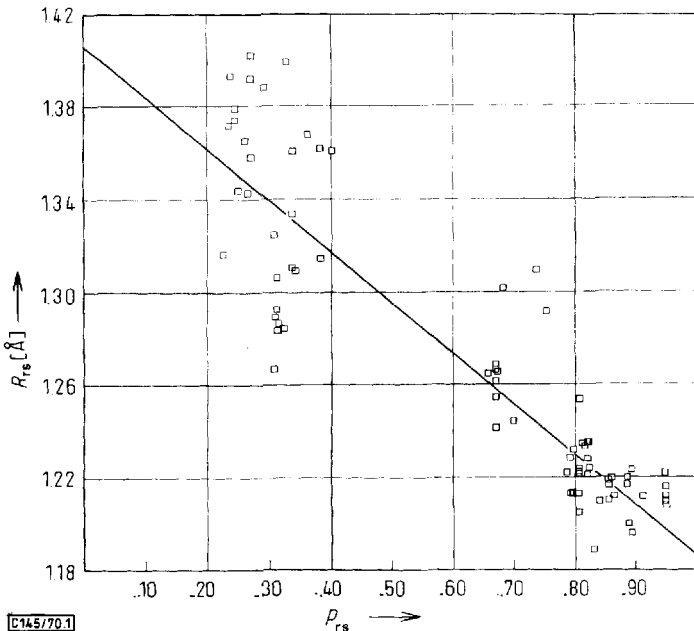


Abbildung. 1. HMO- π -Bindungsordnung-Bindungslängen-Beziehung (5) für CO-Bindungen berechnet mit den Heteroatomparametern nach Streitwieser^{13b)}

Bindungen und der resultierenden Werte für die verschiedenen Verbindungen wurde mit den statistischen Formeln³²⁾ (8) und (9) durchgeführt.

$$\bar{\Delta\beta} = \frac{\sum_i \frac{\Delta\beta_i}{\sigma_i^2}}{\sum_i \frac{1}{\sigma_i^2}} \quad (8); \quad \bar{\sigma} = \sqrt{\frac{1}{\sum_i \frac{1}{\sigma_i^2}}} \quad (9)$$

Damit erhält man $k_{C=O} = 1.60 \pm 0.10$. Dieser Wert ist größer als der von Streitwieser^{13b)}, aber geringer als der von Derflinger und Lischka¹⁸⁾ abgeleitete Wert.

Die Größen zur Bestimmung des Einfachbindungsparameters k_{C-O} sind in Tab. 5 angegeben.

Man erhält durch statistische Mittelung nach (8) und (9) $k_{C-O} = 1.03 \pm 0.02$. Auch dieser Wert liegt zwischen denen von Streitwieser^{13b)} und Derflinger und Lischka¹⁸⁾.

³²⁾ L. E. Sutton, Tables of Interatomic Distances and Configuration in Molecules and Ions, Special Publication No. 11 of the Chemical Society, London, Barlington House, 1958.

Die π -Bindungsordnungen, die mit den neuen Parametern (10) berechnet wurden, sind ebenfalls in Tab. 3 angegeben und in Abbild. 2 graphisch dargestellt. Als Cou-

$$\begin{aligned}
 h = \bar{\text{O}} &= 1.20 & k_{\text{C}=\text{O}} &= 1.60 \\
 h - \bar{\text{O}} - &= 2.10 & k_{\text{C}-\text{O}} &= 1.00 \\
 h_{\text{Cl}} &= 2.00 & k_{\text{C}-\text{Cl}} &= 0.5 \\
 h_{\text{Br}} &= 1.50 & k_{\text{C}-\text{Br}} &= 0.3
 \end{aligned} \tag{10}$$

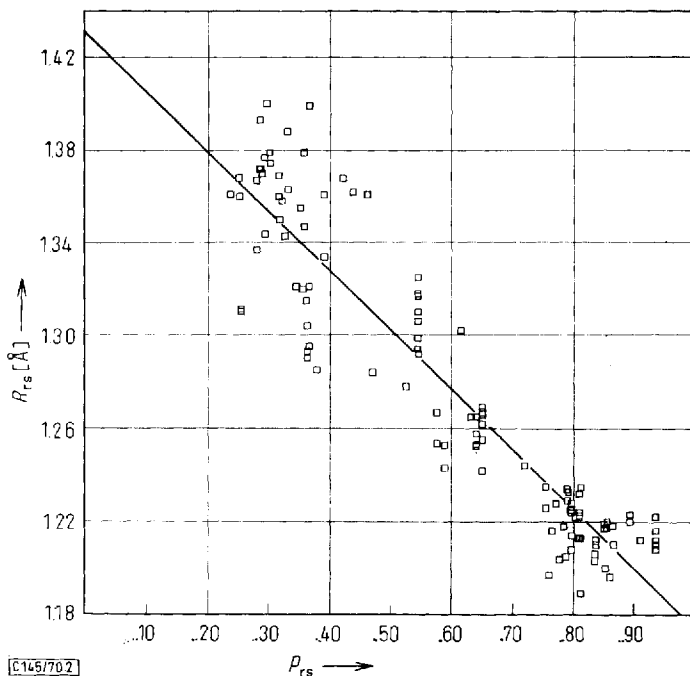
Tab. 4. Werte zur Bestimmung des Heteroatomparameters $k_{\text{C}=\text{O}}$ (Bezifferung der Atome wie in Tab. 3)

Verbindung	Bindung rs	$p_{\text{rs}}^{\text{HMO}}$	$p_{\text{rs}}^{\text{exp}}$	$\Delta p_{\text{rs}} = (p_{\text{rs}}^{\text{exp}} - p_{\text{rs}}^{\text{HMO}})$	$\pi_{\text{tu}, \text{rs}}$	$\Delta \beta_{\text{rs}} = \frac{\Delta p_{\text{rs}}}{\pi_{\text{tu}, \text{rs}}}$	$\text{Fehler } \sigma_i =$
							$\frac{\sigma_{R_{\text{rs}}}}{0.295 \cdot \pi_{\text{tu}, \text{rs}}}$
Acrolein	2-3	.4136	.390	-.024	-.1678	.143	.0617
	3-4	.9059	.830	-.076	.0813	-.1935	.125
Mittel:						-.07	± 0.05
Acrolein	2-3	.4136	.342	-.072	-.1678	.429	.061
	3-4	.9059	.830	-.076	.0813	-.935	.167
Mittel:						0.27	± 0.06
Glyoxal	2-3	.2887	.200	-.089	-.1362	0.654	± 0.075
Benzochinon	2-3	.3662	.366	.0002	-.106	-.0019	.192
	3-4	.8671	.858	-.009	.0754	-.120	.360
Mittel:						-.03	± 0.17
Phenylcyclo- butendion	1-2	.4059	.413	.007	-.1464	-.0478	.139
	2-3	.2655	.142	-.124	-.1294	.958	.157
	3-4	.3451	.264	-.081	-.1039	.778	.196
	1-4	.7272	.770	.043	.1585	.272	.128
	4-5	.4114	.440	.029	-.0240	-.1.21	.848
	5-6	.6048	.650	.045	.0103	4.36	1.98
	6-7	.6805	.692	.011	-.0032	-.3.44	6.36
	7-8	.6569	.688	.031	.0028	11.0	7.26
Mittel:						0.26	± 0.23
2,3-Methylen- 2,3-dihydro- naphthochinon- (1.4)	1-2	.3718	.343	-.029	-.1368	.212	.198
	2-3	.6297	.620	-.010	.0243	-.412	1.12
	3-4	.6664	.702	.036	-.0054	-.6.67	5.03
	4-5	.6567	.630	-.027	.0072	3.75	4.72
	2-7	.5732	.627	.054	.0670	.805	.507
Mittel:						0.40	± 0.37
Anthrachinon	1-2	.6596	.667	.007	.0021	3.33	17.7
	2-3	.6639	.675	.011	.0092	1.20	4.05
	3-4	.6332	.688	.055	.0199	2.77	1.87
	4-5	.3512	.343	-.008	-.1145	.070	.326
	4-7	.5837	.623	.039	.0516	.755	.722
Mittel:						0.25	± 0.29
Benz[<i>a</i>]- anthracen- chinon-(7,12)	1-2	.3504	.433	.083	-.1139	-.728	.298
	2-3	.6336	.573	-.061	.0196	-.3.11	1.73
	3-4	.6630	.708	.045	.0105	4.28	3.87
	4-5	.6604	.698	.038	.0008	47.5	37.3
	5-6	.6629	.705	.042	.0110	3.82	3.39
	6-7	.6339	.681	.047	.0185	2.54	1.83
	7-8	.3495	.251	-.099	-.1115	.888	.304
	2-7	.5843	.620	.036	.0505	.712	.604
	8-9	.3645	.343	-.022	-.1254	.176	.243
	9-10	.6310	.587	-.044	.0608	-.725	.502
	1-10	.3488	.234	-.115	-.0302	3.81	1.12
	10-11	.5788	.650	.071	.0087	8.16	3.89
	11-12	.7195	.743	.023	.0133	1.73	3.06
	12-13	.5501	.600	.050	-.0013	-.38.5	26.1
	13-14	.5565	.488	-.069	.0003	-.230.	124.
	14-15	.7224	.722	.000	.0009	0.0	41.4
	15-16	.6036	.670	.066	.0014	47.1	29.
	16-17	.7206	.735	.014	.0034	4.12	10.95
	17-18	.5627	.495	-.068	-.0064	10.6	5.29
	9-18	.5251	.546	.021	.0171	1.23	1.98
	13-18	.5156	.583	.067	.0062	10.8	5.56
Mittel:						0.18	± 0.15

lomb-Parameter wurden die Werte von *Derflinger* und *Lischka*¹⁸⁾ gewählt, die nach der Methode der kleinsten Fehlerquadrate aus der Anpassung an Lichtabsorptionsspektren bestimmt wurden.

Tab. 5. Werte zur Bestimmung des Heteroatomparameterns k_{C-O} (Bezifferung der Atome wie in Tab. 3)

Verbindung	Bindung rs	p_{rs}^{HMO}	p_{rs}^{exp}	$\Delta p_{rs} = (p_{rs}^{\text{exp}} - p_{rs}^{HMO})$	$\pi_{tu, rs}$	$\Delta \beta_{rs} = \frac{\Delta p_{rs}}{\pi_{tu, rs}}$	Fehler $\sigma = \frac{\sigma_{R_{rs}}}{0.295 \cdot \pi_{tu, rs}}$
Furan	2-3	.8111	.760	-.051	-.1652	.307	.0205
	3-4	.5368	.522	-.015	.1586	-.0947	.0435
						Mittel: 0.23	± 0.02
Phenol	1-2	.6450	.675	.030	.0574	-.523	.593
	2-3	.6708	.650	-.021	.0115	-.183	.295
	3-4	.6641	.661	.003	-.0074	-.405	.458
						Mittel: -.29	± 0.23
Hydrochinon	2-3	.6454	.712	.067	-.0507	-.1.32	.667
	3-4	.6714	.624	-.047	.0059	-.7.95	5.74
						Mittel: -.1.41	± 0.66
Brenz- catechin	2-3	.6535	.705	.051	-.0262	-.1.94	1.29
	3-4	.6643	.644	-.020	-.0146	1.37	2.31
	4-5	.6648	.701	.036	.0010	306.	33.9
	2-7	.6257	.664	.038	-.1047	-.364	0.324
						Mittel: -.42	± 0.66



Abbild. 2. HMO- π -Bindungsordnung-Bindungslängen-Beziehung (11) für CO-Bindungen, berechnet mit den Heteroatomparametern (10)

Die Ausgleichsgerade (11) beträgt

$$R_{rs}^{\text{CO}} [\text{\AA}] = 1.431 - 0.257 p_{rs} \quad (11)$$

mit einer Standardabweichung von 0.023 \AA für 118 Werte und einem Korrelationskoeffizienten von 0.930. Die Beziehung ist gegenüber (5) wesentlich verbessert.

Der Korrelationskoeffizient ist nun besser als bei den CC- und CN-Bindungen (0.865)^{17,1)} und entspricht dem der PPP-SCF- π -Bindungsordnungen von CC-Bindungen¹⁷⁾ (0.935). Die Standardabweichung ist aber größer als bei den CC- oder CN-Bindungen (0.017 bzw. 0.019 \AA).

Der theoretische C_{sp^2} -O-Einfachbindungsabstand ergibt sich somit zu $1.431 \pm 0.023 \text{ \AA}$, während der theoretische C_{sp^2} -O-Doppelbindungsabstand für $p = 1.00$ $1.174 \pm 0.023 \text{ \AA}$ beträgt. Für den experimentell meßbaren C=O-Doppelbindungsabstand mit $p = 0.936$ ergibt (11) den Wert $1.180 \pm 0.023 \text{ \AA}$, der etwas kleiner als der experimentell beim Formaldehyd beobachtete Abstand von $1.208 \pm 0.006 \text{ \AA}$ ist.

PPP-SCF- π -Bindungsordnungen

In Tab. 3 sind auch Literaturwerte von π -Bindungsordnungs-Berechnungen nach Pariser, Parr und Pople^{14, 15, 16)} aufgeführt. Diese Werte hängen nun ebenfalls von der Wahl der empirischen Integralparameter ab. Die graphische Darstellung der Werte von Tab. 3 in Abbild. 3 ergibt die Ausgleichsgerade (12) mit einer Standardabweichung

$$R_{rs}^{\text{PPP, CO}} [\text{\AA}] = 1.443 - 0.266 p_{rs} \quad (12)$$

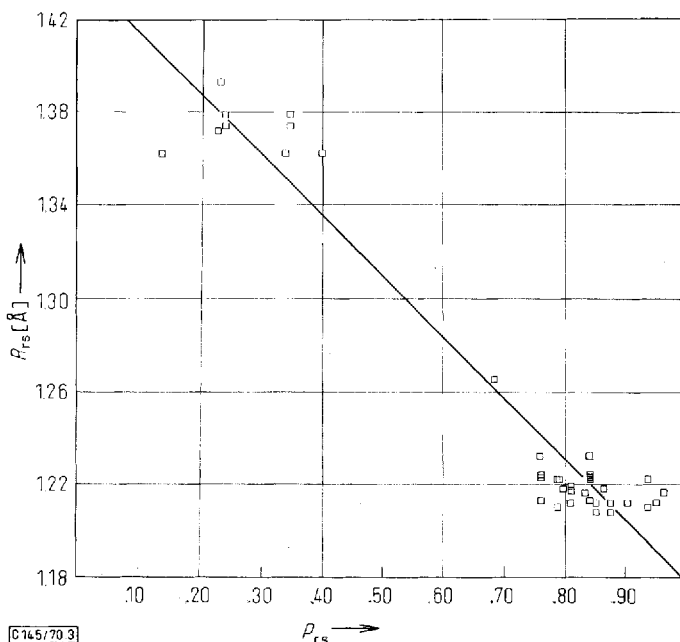


Abbildung. 3. PPP-SCF- π -Bindungsordnung-Bindungslängen-Beziehung (12) für CO-Bindungen

von 0.017 Å für 37 Punkte und einem Korrelationskoeffizienten von 0.969. Diese Beziehung (12) erweist sich als statistisch besser als die HMO-Beziehungen (5) und (11).

Für den experimentellen C—O-Doppelbindungsabstand ergibt nun (12) 1.216 ± 0.017 Å in guter Übereinstimmung mit den experimentellen Werten für Formaldehyd und Aceton (s. Tab. 3).

CC-Bindungsabstände in CO-Hetero- π -systemen

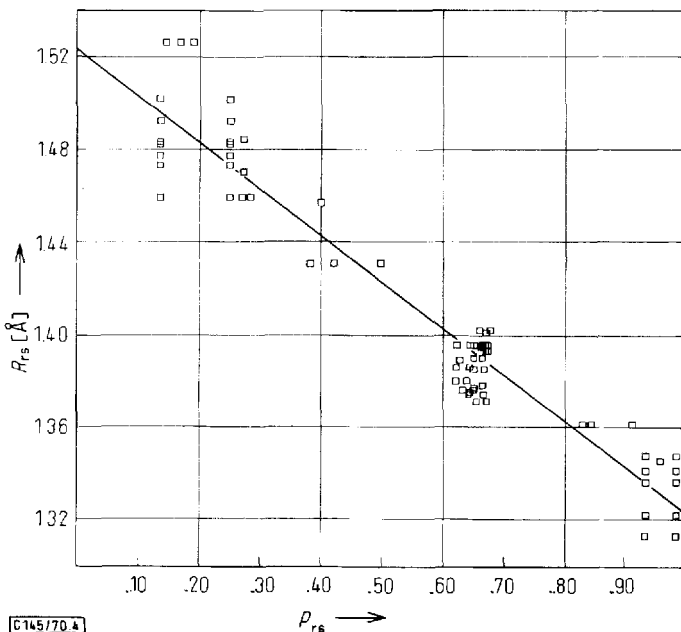
Die CC-Bindungsabstände der Tab. 3 ergeben in Kombination mit den entsprechenden HMO-Bindungsordnungen (berechnet mit den Parametern (10)) die Gleichung (13) mit einer Standardabweichung von 0.018 Å für 283 Werte und einem Korrelationskoeffizienten von 0.934.

$$R_{rs}^{\text{HMO, CC(CO-Hetero)}} [\text{\AA}] = 1.600 - 0.320 p_{rs} \quad (13)$$

Diese Beziehung (13) weicht von der für CC-Bindungen gültigen Gleichung (7) nach oben hin ab, während bei den CC-Bindungen der CN- π -Systeme eine analoge Abweichung nach unten beobachtet wurde.

Die Ausgleichsgerade (14) der Abbild. 4 für CC-Bindungsabstände und PPP-SCF- π -Bindungsordnungen beträgt

$$R_{rs}^{\text{PPP, CC(CO-Hetero)}} [\text{\AA}] = 1.523 - 0.201 p_{rs} \quad (14)$$



Abbild. 4. PPP-SCF- π -Bindungsordnung-Bindungslängen-Beziehung (14) für CC-Bindungen in CO- π -Systemen

mit einer Standardabweichung von 0.015 Å für 70 Punkte und einem Korrelationskoeffizienten von 0.964. Diese Beziehung stimmt gut mit der entsprechenden für reine CC-π-Bindungssysteme (15) überein¹⁷⁾.

$$R_{rs}^{\text{PPP, CC}} [\text{\AA}] = 1.531 - 0.205 p_{rs} \quad (15)$$

Herrn Professor Dr. *E. Bayer* wird für die wohlwollende Förderung und Unterstützung dieser Arbeit herzlich gedankt.

[145/70]